



北京大学  
PEKING UNIVERSITY

# $\pi^0$ –pole's contribution to HLbL in muon g-2

北京大学 林天

2024年7月9日

超级陶粲装置研讨会，兰州



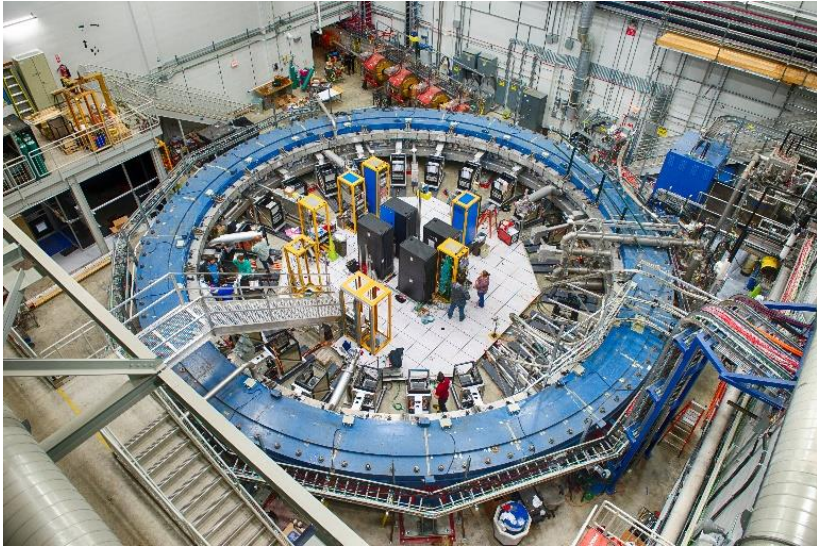
# CONTENTS

**01** | 研究背景：缪子反常磁矩之谜

**02** |  $\pi^0$ -极点对强光子光子散射的贡献

# 缪子反常磁矩之谜

## 2023年费米实验室最新实验



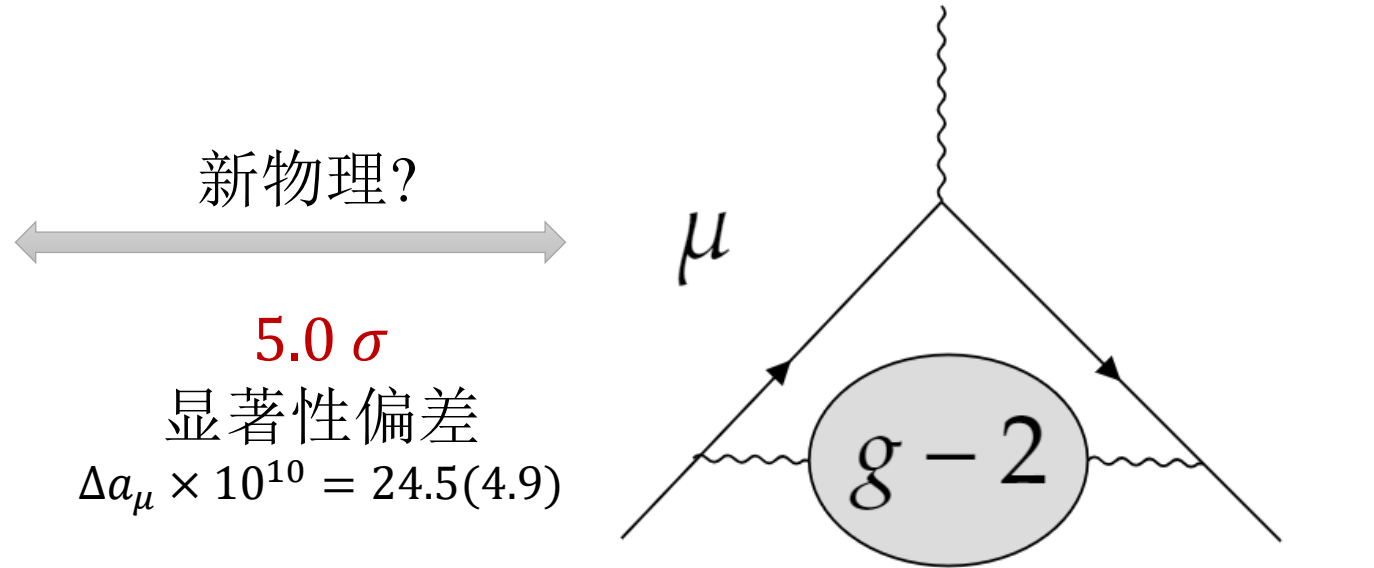
(缪子反常磁矩储存环)

$$a_\mu \times 10^{10} - 11659000 = 205.5(2.4)$$

精度: **0.20 ppm**

(Aguillard et al., 2023)

## 2020年缪子反常磁矩白皮书



$$a_\mu \times 10^{10} - 11659000 = 181.0(4.3)$$

精度: **0.37 ppm**

(Aoyama et al., 2020)

需要在标准模型下进行更加精确的计算!

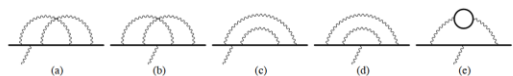
# 缪子反常磁矩之谜

纯电磁相互作用:

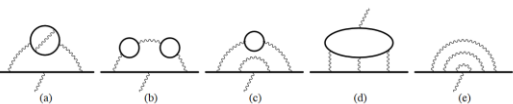
$$a_{\mu}^{QED} \times 10^{11} = 116584718.931 \pm 0.104$$

主要贡献, 误差可忽略

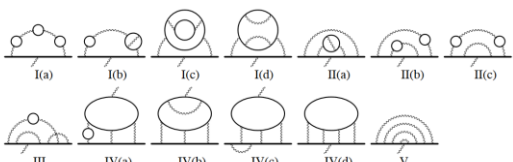
四阶



六阶



八阶



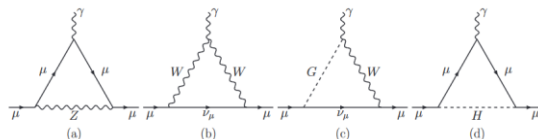
...

电弱相互作用:

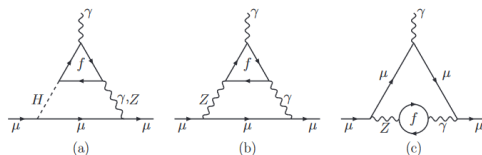
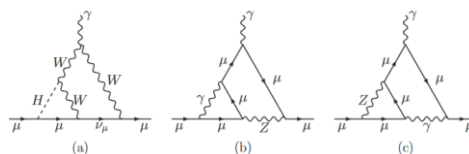
$$a_{\mu}^{EW} \times 10^{11} = 153.6 \pm 1.0$$

被W/Z质量压低, 不占主导

一圈



双圈



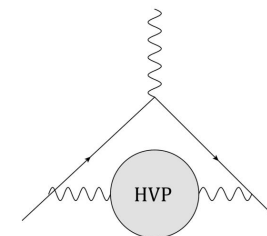
...

强相互作用:

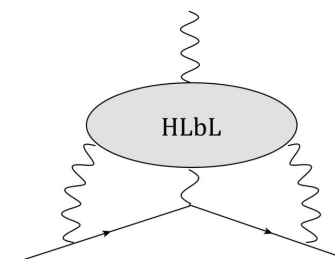
$$a_{\mu}^{Haddon} \times 10^{11} = 6937 \pm 44$$

主要不确定度来源

$\mathcal{O}(\alpha^2)$

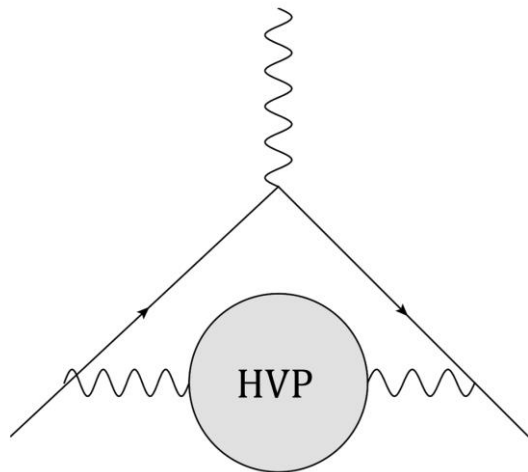


$\mathcal{O}(\alpha^3)$



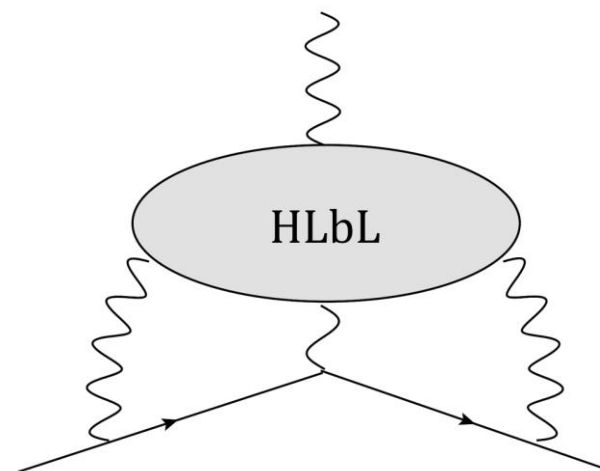
# 强相互作用对缪子反常磁矩的贡献

$\mathcal{O}(\alpha^2)$  HVP  
强真空极化



2020 白皮书:  $a_{\mu}^{HVP} = 6931(40) \times 10^{-11}$   
目标精度: 0.2%

$\mathcal{O}(\alpha^3)$  HLbL  
强光子光子散射



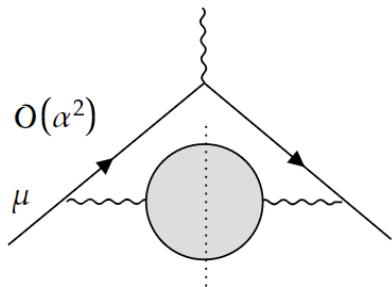
$a_{\mu}^{HLbL} = 92(18) \times 10^{-11}$   
目标精度: 10%

非微扰特性使得强相互作用的计算极具挑战性

- 色散关系
- 格点QCD

# 强真空极化 HVP

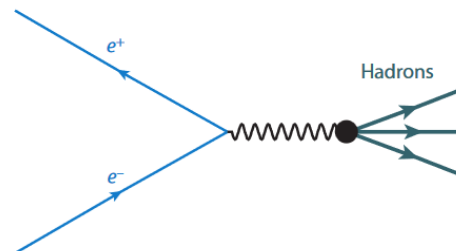
领头阶 HVP



- 色散关系:  
数据驱动

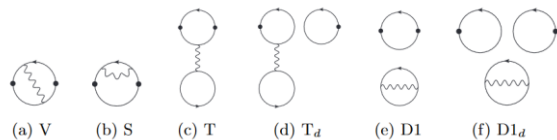
实验输入

- $e^+e^-$  散射截面:  $\pi^+\pi^-$
- $\tau$  强衰变:  $\pi^-\pi^0$
- $2K, 3\pi, 4\pi, J/\psi$  道
- R 值测量



- 格点 QCD

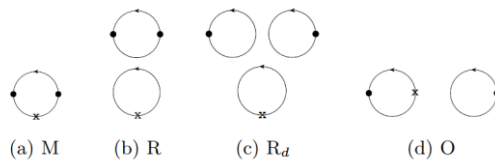
同位旋对称:



QED 修正:



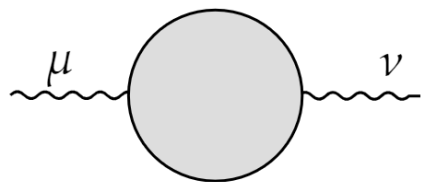
强同位旋破缺:



... (Blum et al., 2018)

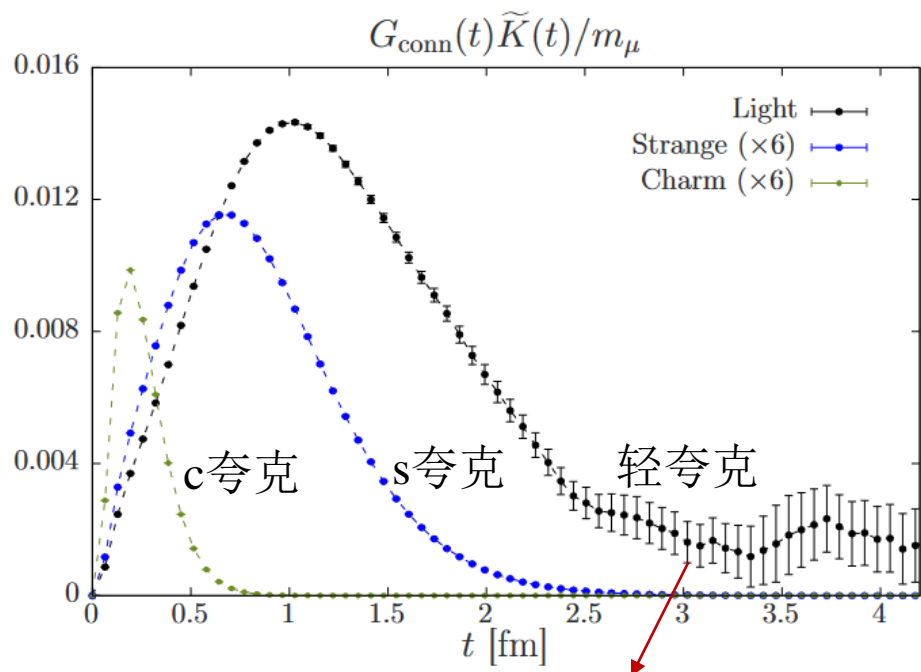
目标精度高于1%

# 强真空极化的格点计算

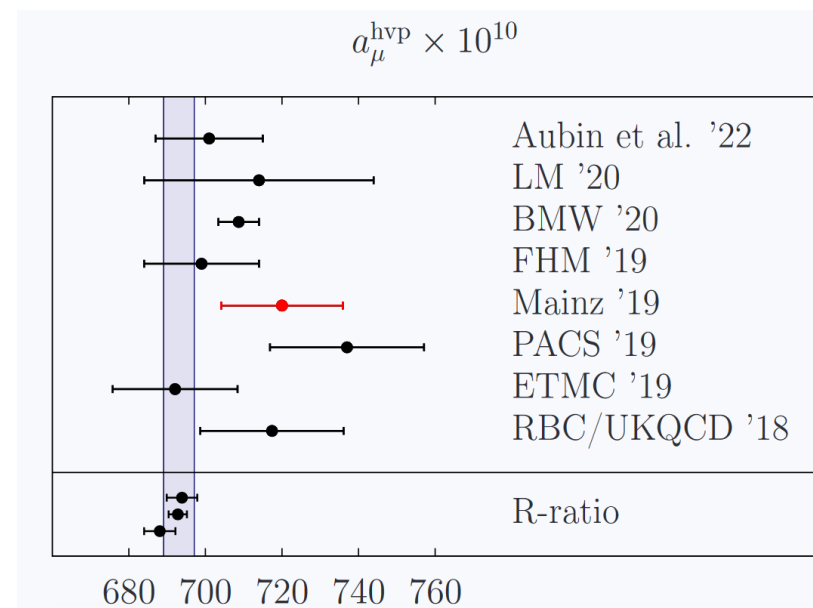


$$a_{\mu}^{HVP} = \left(\frac{\alpha}{\pi}\right)^2 \int_0^{\infty} dt K(t)G(t), \quad G(t) = -\frac{1}{3} \sum_{k=1}^3 \sum_{\vec{x}} \langle J_k(x)J_k(0) \rangle$$

(Blum '02)



- 信噪比问题
- 有限体积效应  $\mathcal{O}(3\%)$  对于  $L \approx 6\text{fm}$
- 格距误差



格点QCD  
色散方法

(Gérardin, lattice2023)

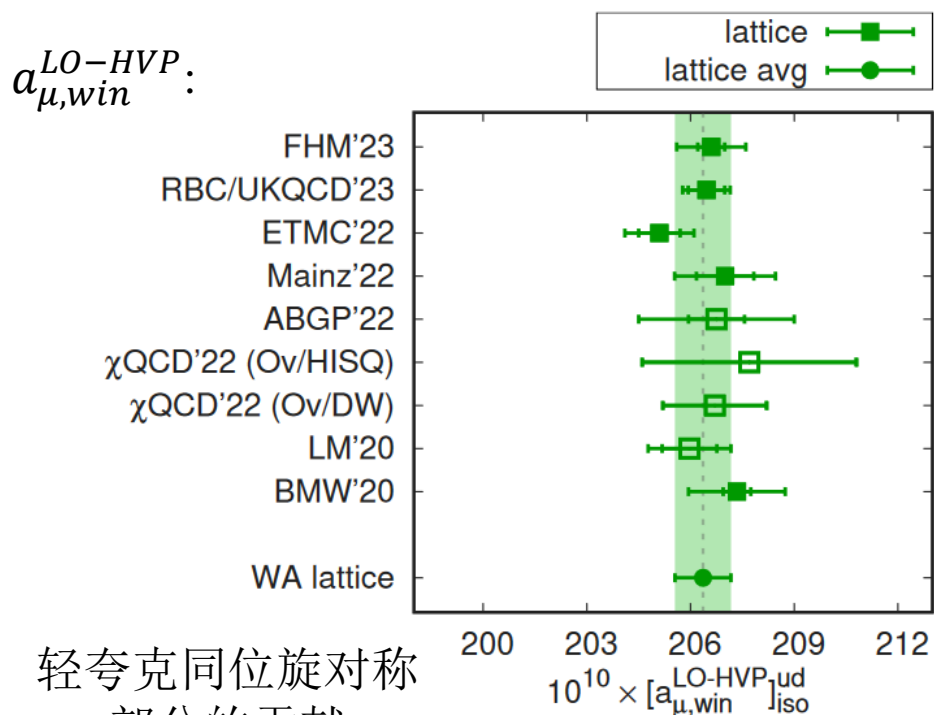
早期的格点计算结果精度较低

# 强真空极化: windows method

$$a_{\mu}^{\text{win}} = \left(\frac{\alpha}{\pi}\right)^2 \int_0^{\infty} dt K(t)G(t)W(t; t_0, t_1)$$

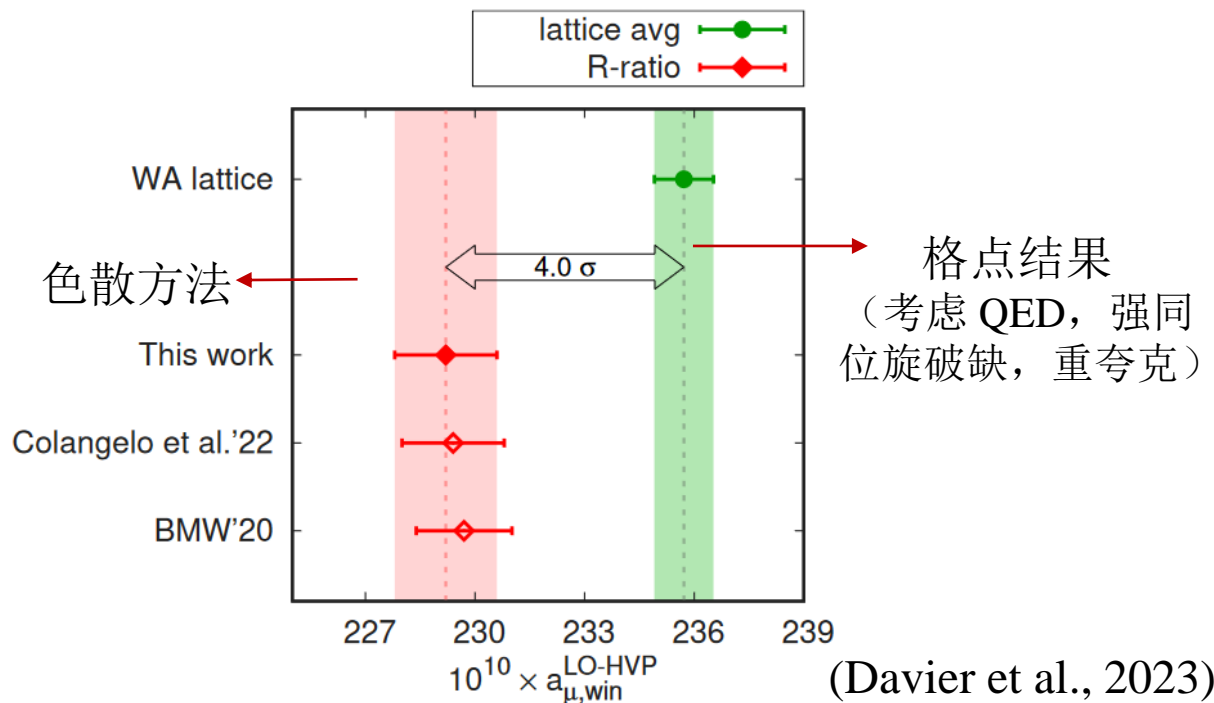
长程部分: 有限体积效应, 统计误差  
 短程部分: 格距误差  
 窗函数: 提取中程部分的贡献 (intermediate window)

$a_{\mu, \text{win}}^{\text{LO-HVP}}$ :



轻夸克同位旋对称部分的贡献

~ 总贡献 30%  
 各个格点组结果一致



格点结果同色散方法存在一定差异

# 强真空极化新谜题

新谜题？

实验vs色散方法vs格点

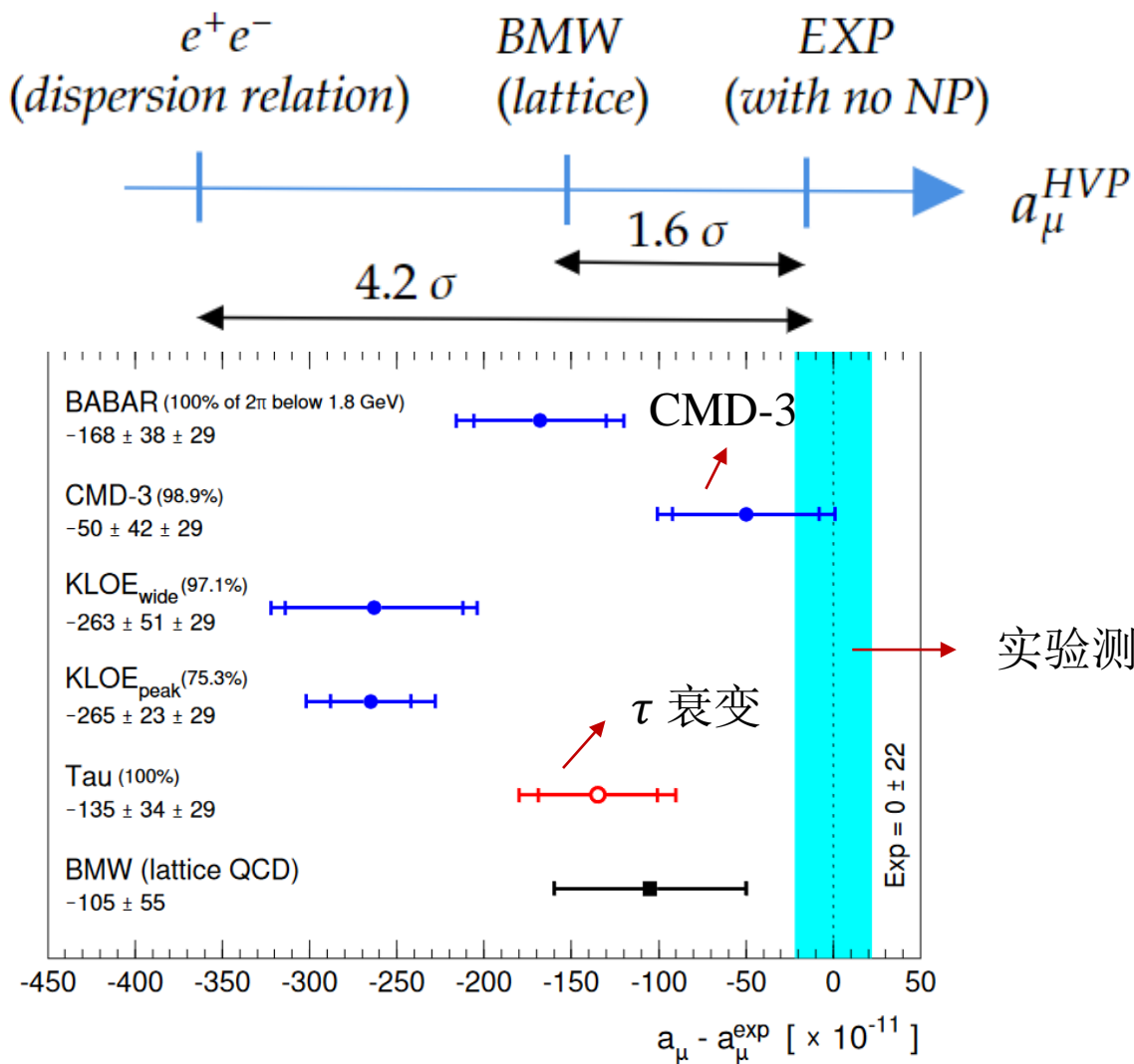
色散方法：

不同实验输入存在差别

$e^+e^- \rightarrow 2\pi$

- BABAR
- KLOE
- CMD3

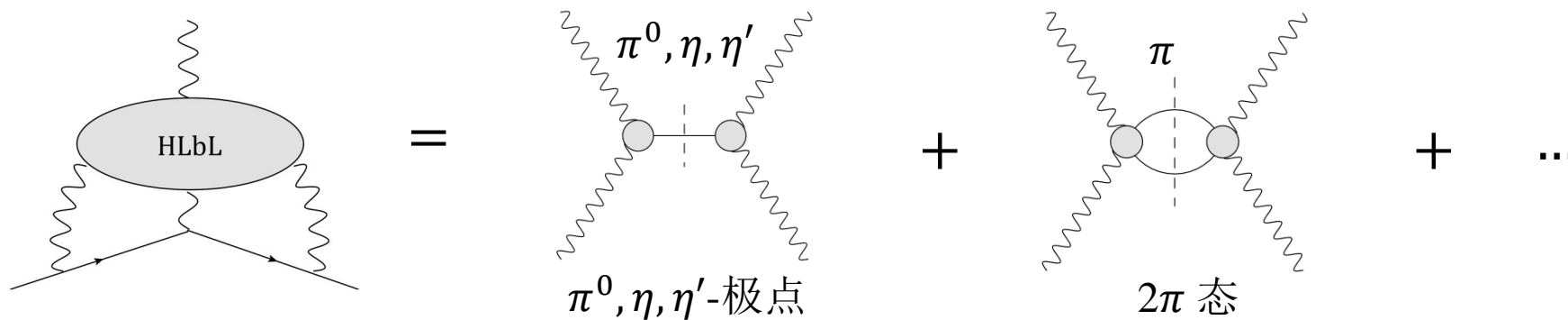
$\tau$  衰变



实验测量

(Davier et al., 2023)

# 强光子-光子散射 HLbL



色散方法：  
各个中间态的贡献

色散方法	$a_\mu \times 10^{11}$
$\pi^0, \eta, \eta'$ 极点	$93.8 \pm 4.0$
$\pi/K$ 圈	$-16.4 \pm 0.2$
S-波 $\pi\pi$	$-8 \pm 1$
轴矢粒子	$6 \pm 6$
标量、张量粒子	$-1 \pm 3$
短程贡献	$15 \pm 10$
粲夸克以及更重夸克	$3 \pm 1$
总和	$92 \pm 19$
<hr/>	
格点直接计算	
Mainz,22	$109.6 \pm 15.9$
RBC/UKQCD,23	$124.7 \pm 15.2$

两种格点计算方案：

- 在色散分析的框架下计算： $\pi^0, \eta, \eta'$  极点
- 直接计算四点函数

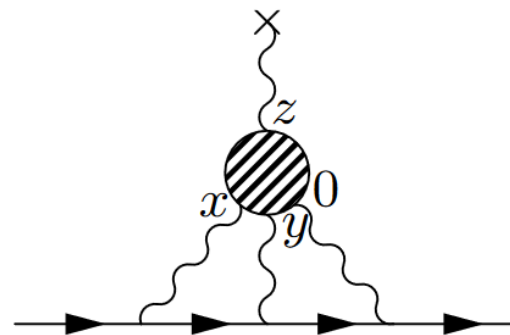
目前的精度 ( $\sim 15\%$ ) 下，色散方法和格点计算均给出**一致**的结果。

# 强光子-光子散射：格点直接计算 $QED_\infty$ 方案

$$a_\mu^{HLbL} = \frac{me^6}{3} \int_y \int_x \bar{\mathcal{L}}_{[\rho,\sigma];\mu\nu\lambda}(x,y) i \hat{\Pi}_{\rho;\mu\nu\lambda\sigma}(x,y)$$

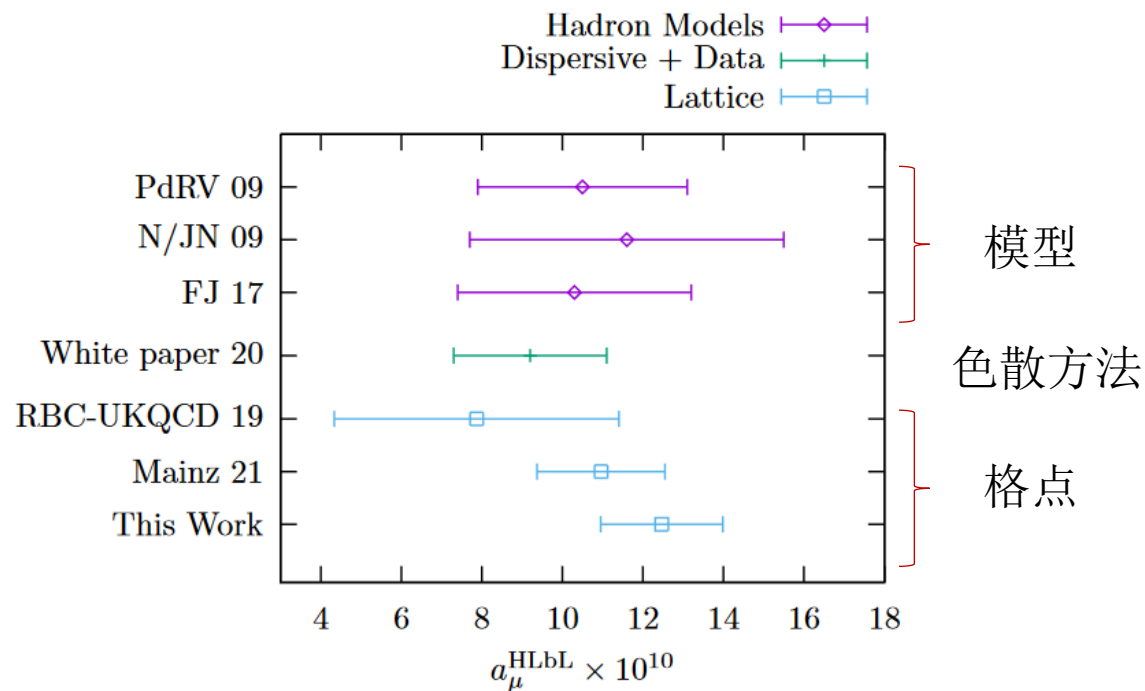
HLbL 张量

$$i \hat{\Pi}_{\rho;\mu\nu\lambda\sigma}(x,y) = - \int d^4z z_\rho \langle J_\mu(x) J_\nu(y) J_\rho(z) J_\sigma(0) \rangle$$



$QED_\infty$  方案

- $\hat{\Pi}_{\rho;\mu\nu\lambda\sigma}(x,y)$ :  
四点函数，可以通过格点计算
- $\bar{\mathcal{L}}_{[\rho,\sigma];\mu\nu\lambda}(x,y)$ :  
无穷体积中的QED权重函数，可以半解析计算



(Blum et al., 2023)

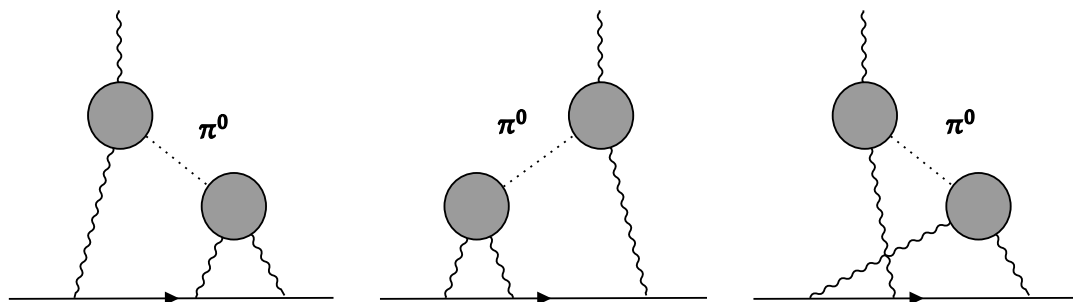
# CONTENTS

## 01 | 研究背景：缪子反常磁矩之谜

## 02 | $\pi^0$ -极点对强光子光子散射的贡献

- 研究方法
- 数值结果

# $\pi^0$ 极点对HLbL的贡献

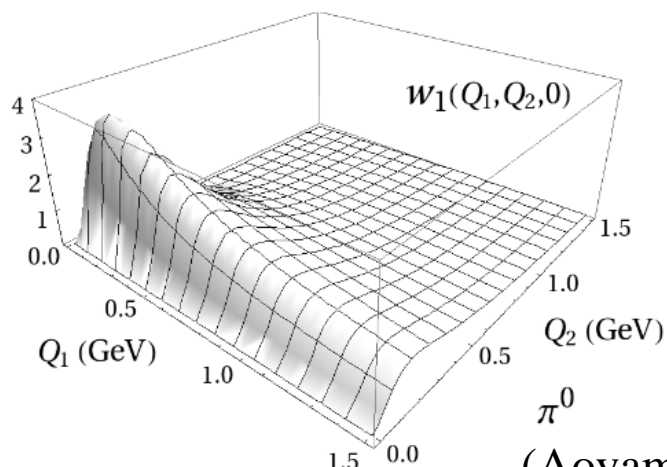


$\pi^0$  极点对HLbL贡献

$$a_{\mu}^{\pi^0\text{-pole}} = \left(\frac{\alpha}{\pi}\right)^3 \int dQ_1 dQ_2 d\tau [w_1(Q_1, Q_2, \tau) F_{\pi\gamma^*\gamma^*}(-Q_1^2, -Q_2^2) F_{\pi\gamma^*\gamma^*}(-Q_2^2, 0) + w_2(Q_1, Q_2, \tau) F_{\pi\gamma^*\gamma^*}(-Q_1^2, -Q_2^2) F_{\pi\gamma^*\gamma^*}(-Q_3^2, 0)]$$

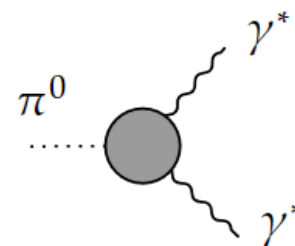
$w_1(Q_1, Q_2, \tau), w_2(Q_1, Q_2, \tau)$ : 权重函数

$F_{\pi\gamma^*\gamma^*}(-Q_1^2, -Q_2^2)$ :  $\pi^0$  转变形状因子



约  $Q^2 \sim m_{\pi}^2$  时取极值

(Aoyama et al., 2020)



需要任意类空动量形状因子输入

# $\pi^0$ 转变形状因子的提取

格点输入:  $\mathcal{H}_{\mu\nu}(x)$  任意类空动量的  $\pi^0$ 转变形状因子

$$i \int d^4x e^{-iq_1 \cdot x} \langle \Omega | T \{ J_\mu(x) J_\nu(0) \} | \pi^0(p) \rangle \equiv \varepsilon_{\mu\nu\alpha\beta} q_1^\alpha q_2^\beta \mathcal{F}_{\pi^0 \gamma^* \gamma^*}(-q_1^2, -q_2^2)$$

$$q_1 = (iE, \vec{q})$$

传统方案:

$E$ : 自由参数  
 $\vec{q} = \frac{2\pi}{L} \vec{n}$ : 格点动量



并非所有动量取值的形状因子都可以直接计算  
 必须引入模型进行参数化

VMD 模型,  $z$  展开...

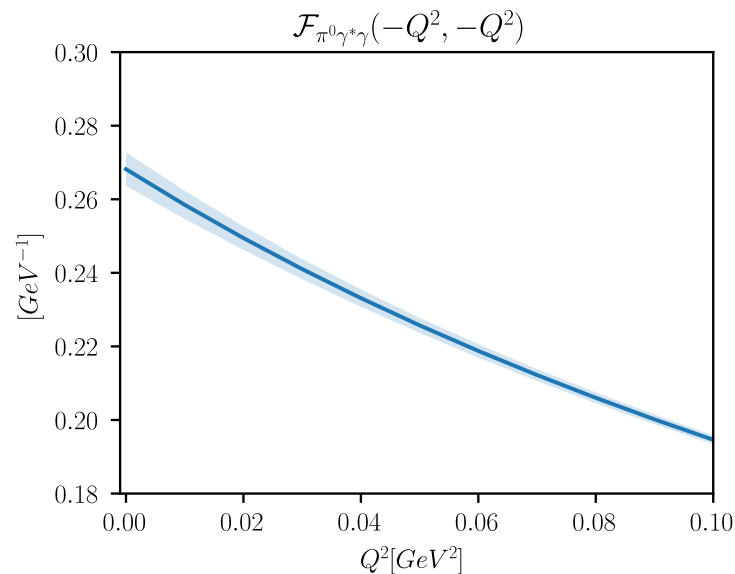
无穷体积标量函数方案

$$\mathcal{F}_{\pi^0 \gamma^* \gamma^*}(-q_1^2, -q_2^2) = \frac{1}{2m_\pi} \int dt \int d^3x e^{Et} \frac{j_1(|\vec{q}||\vec{x}|)}{|\vec{q}||\vec{x}|} \varepsilon^{\mu\nu\alpha 0} x_\alpha \mathcal{H}_{\mu\nu}(x)$$

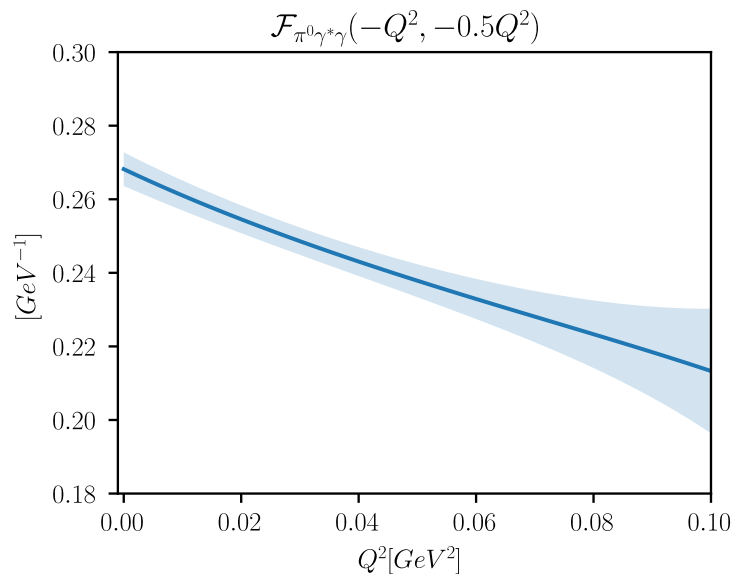
可以直接计算任意动量的形状因子

# $\pi^0$ 形状因子的计算结果

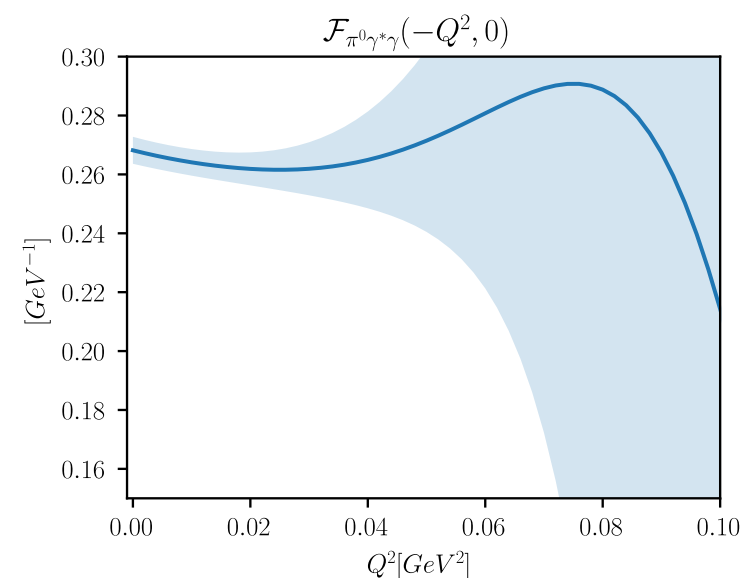
在  $\pi^0$  静止系中



$$Q_1^2 = Q_2^2 = Q^2$$



$$Q_1^2 = Q^2, Q_2^2 = 0.5Q^2$$



$$Q_1^2 = Q^2, Q_2^2 = 0$$

当  $Q_1^2 \neq Q_2^2$  时，权重函数中的指数因子会显著放大统计误差。  
信噪比问题导致无法得到  $a_\mu^{\pi^0-pole}$

# 强子函数的洛伦兹结构



(Bali et al., 2018)

强子函数

$$H(x^2, p \cdot x) = \int_0^1 du e^{i(u-\frac{1}{2})p \cdot x} \phi_\pi(x^2, u) H(x^2, 0)$$

保持 SO(4) 对称性

$\pi$  结构函数

- 夸克反夸克对称性:  $\phi_\pi(x^2, u) = \phi_\pi(x^2, 1 - u)$
- 归一化条件:  $\int_0^1 du \phi_\pi(x^2, u) = 1$  ★

$\pi^0$  转变形状因子:

$$\mathcal{F}_{\pi^0 \gamma^* \gamma^*}(-q_1^2, -q_2^2) = \int_0^1 du \int d^4x e^{-ik \cdot x} \frac{(x \cdot k)p^2 - (x \cdot p)(k \cdot p)}{k^2 p^2 - (k \cdot p)^2} \phi_\pi(x^2, u) H(x^2, 0) \quad \text{with } k = q_1 - up$$

SO(4) 平均

$$= -2i \int_0^1 du \int d^4x \frac{J_2(kx)}{k^2} \phi_\pi(x^2, u) H(x^2, 0) \rightarrow \text{格点输入}$$

物理  $\pi$  结构函数

- 😊 ! 解决了信噪比问题
- 😬 ? 需要结构函数作输入

# Gegenbauer 分解

$$a_{\mu}^{\pi^0-pole} = \int d^4x_1 d^4x_2 du_1 du_2 \overset{\text{格点输入}}{\uparrow} \overset{\text{格点输入}}{\uparrow} H(x_1^2, 0) H(x_2^2, 0) \overset{\text{结构函数}}{\uparrow} \overset{\text{结构函数}}{\uparrow} \phi_{\pi}(x_1^2, u_1) \phi_{\pi}(x_2^2, u_2) \overset{\text{解析已知}}{\uparrow} \rho_{sym}(x_1, x_2, u_1, u_2)$$

Gegenbauer 多项式  $C_{2n}^{\frac{3}{2}}(2u - 1)$  构成  $[0,1]$  上的正交完备基，将  $\phi_{\pi}, \rho_{sym}$  分解为：

$$\phi_{\pi}(x^2, u) = 6u(1-u) \sum_n a_{2n}(x^2) C_{2n}^{\frac{3}{2}}(2u - 1) \quad \text{归一化条件要求: } a_0(x^2) = 1$$

$$\rho_{sym}(x_1, x_2, u_1, u_2) = \sum_{n,m} \rho_{2n,2m}(x_1, x_2) C_{2n}^{\frac{3}{2}}(2u_1 - 1) C_{2m}^{\frac{3}{2}}(2u_2 - 1)$$

随着  $n, m \uparrow$  压低

$$a_{\mu}^{\pi^0-pole} \approx a_{0,0}^{\pi^0-pole} + \underbrace{a_{0,2}^{\pi^0-pole} + a_{2,0}^{\pi^0-pole}}_{\substack{\propto \text{结构函数的 } a_2 \\ \text{主要的结构依赖项}}} + \dots$$

不依赖于结构函数 忽略高阶项

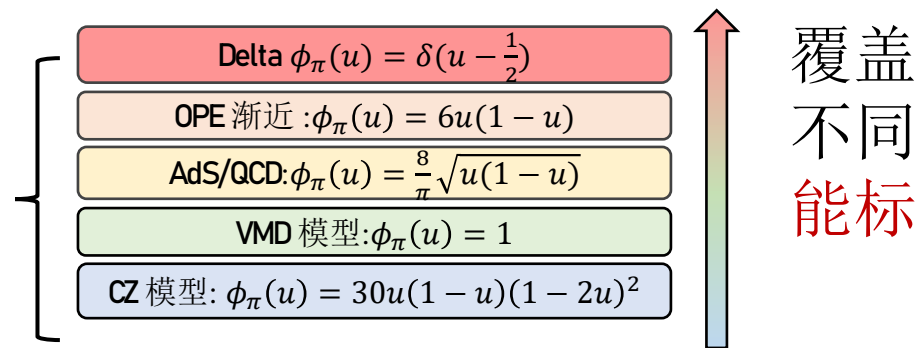
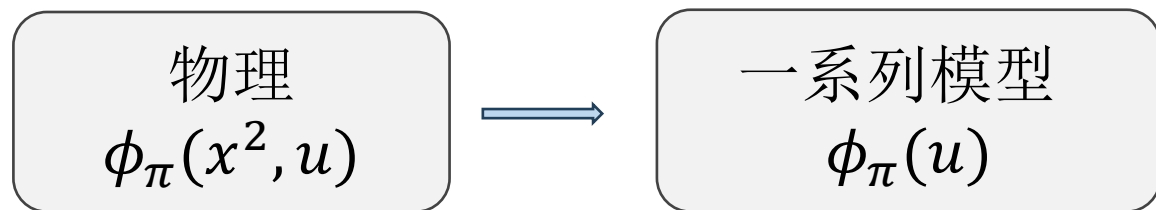
# 如何确定 $\phi_\pi(x^2, u)$ ?

思考1: 能够通过格点提取?

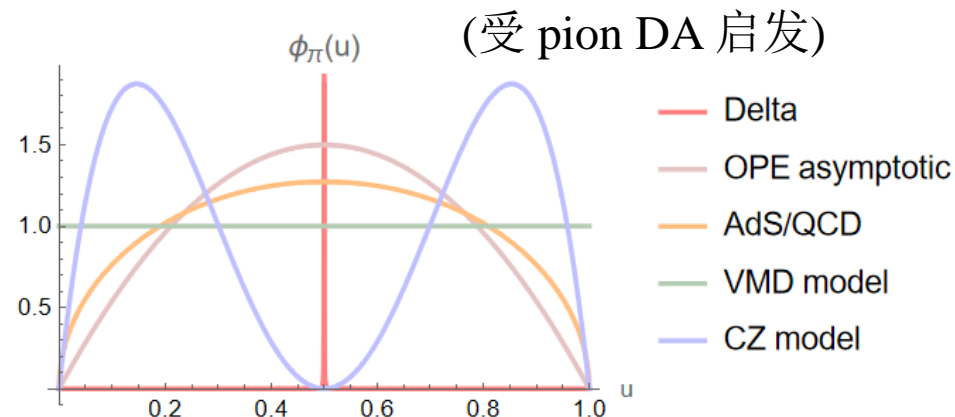
原则上可以, 但

- 需要 boost 一个较大的动量
- 反问题
- 并不必要, 因为  $a_\mu^{\pi^0-pole}$  对结构函数依赖不大

思考2: 如何估计结构依赖?



通过不同模型估计系统误差



# 格点组态信息

id	$m_\pi$ (MeV)	$a$ [fm]	$L^3 \times T$	$m_\pi L$	$N_{conf}$
24D	143	0.194	$24^3 \times 64$	3.3	253
32D	142	0.194	$32^3 \times 64$	4.5	63
32Df	143	0.143	$32^3 \times 64$	3.3	69
48I	139	0.114	$48^3 \times 96$	3.9	112
64I	135	0.084	$64^3 \times 128$	3.7	65
16IH2	431	0.11	$16^3 \times 32$	3.9	302
24DH	328	0.193	$24^3 \times 64$	8.1	37
24IH1	340	0.110	$24^3 \times 32$	4.6	77
24IH2	431	0.110	$24^3 \times 32$	5.8	76
24IH3	573	0.110	$24^3 \times 32$	7.7	27
32IcoarseH1	340	0.110	$32^3 \times 64$	6.1	38
32IfineH	371	0.063	$32^3 \times 64$	3.8	118
32IH1	302	0.083	$32^3 \times 64$	4.1	49
32IH2	360	0.083	$32^3 \times 64$	4.8	57

物理  $\pi$  质量

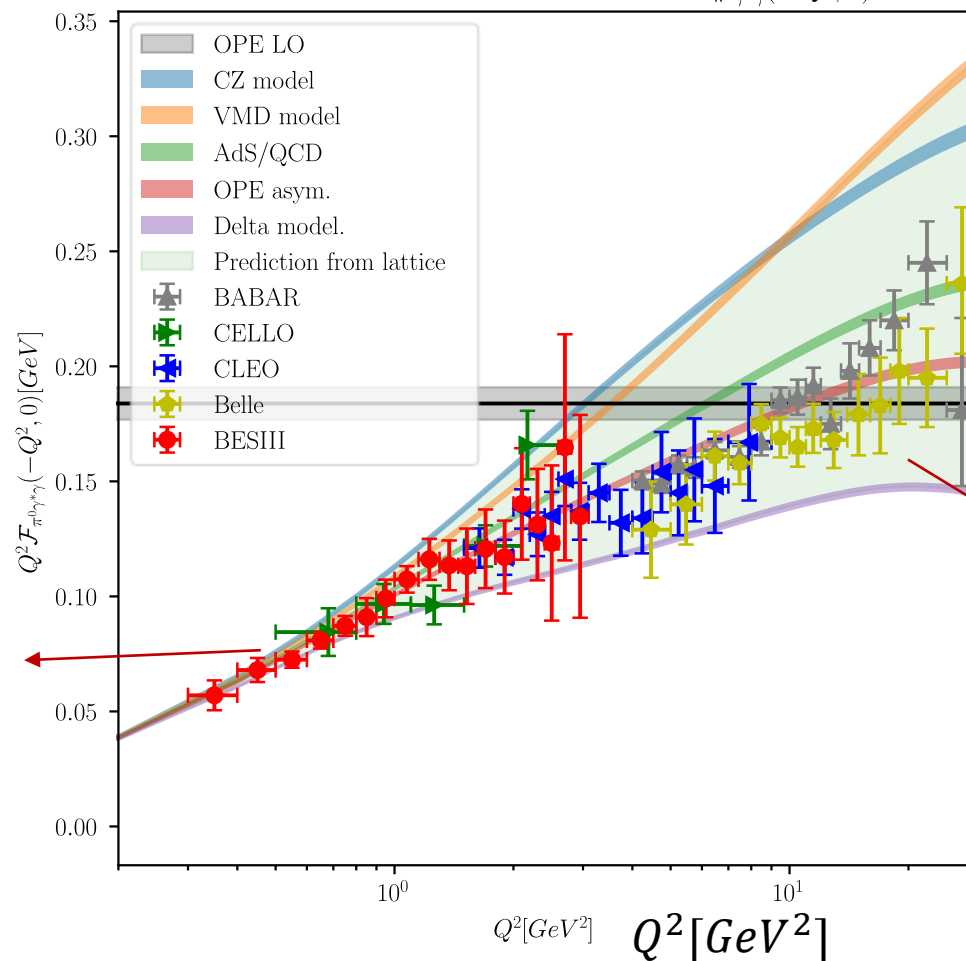
RBC/UKQCD 合作组产生(RBC et al., 2016)

Domain wall 费米子 + Iwasaki 规范作用量(+DSDR)

# $\pi^0$ 转变形状因子的计算

$$\mathcal{F}(-Q^2, 0)$$

Measurements and Lattice Calculation of  $\mathcal{F}_{\pi^0\gamma^*\gamma}(-Q^2, 0)$



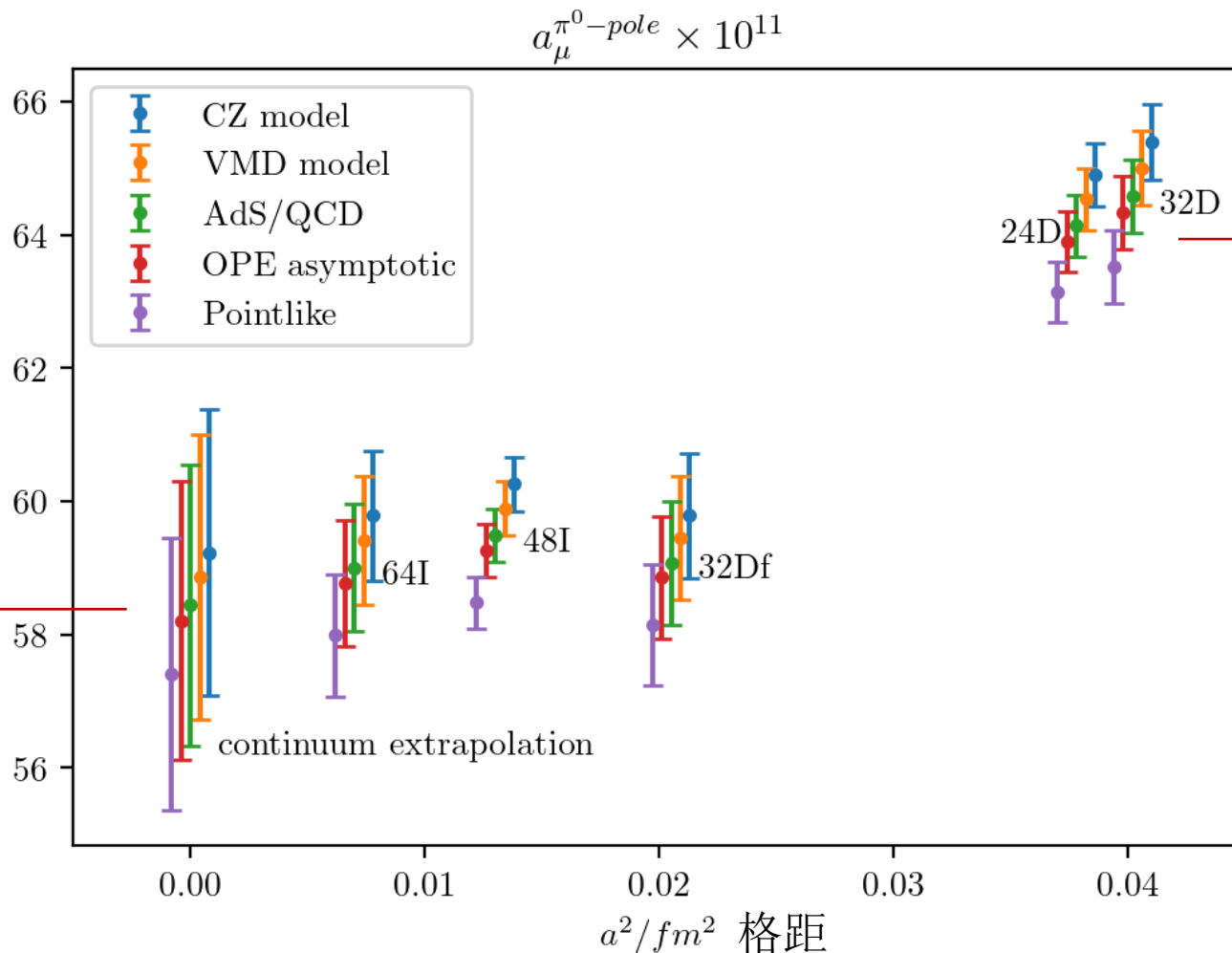
单个模型的结果  
(连续极限外推后)

结合不同模型得到的  
格点预测和实验一致!

实验数据:  
包括 BABAR,  
CELLO, CLEO,  
Belle, BESIII

对模型的选择已经能很好的估计系统误差

# $a_{\mu}^{\pi^0-pole}$ 的计算结果



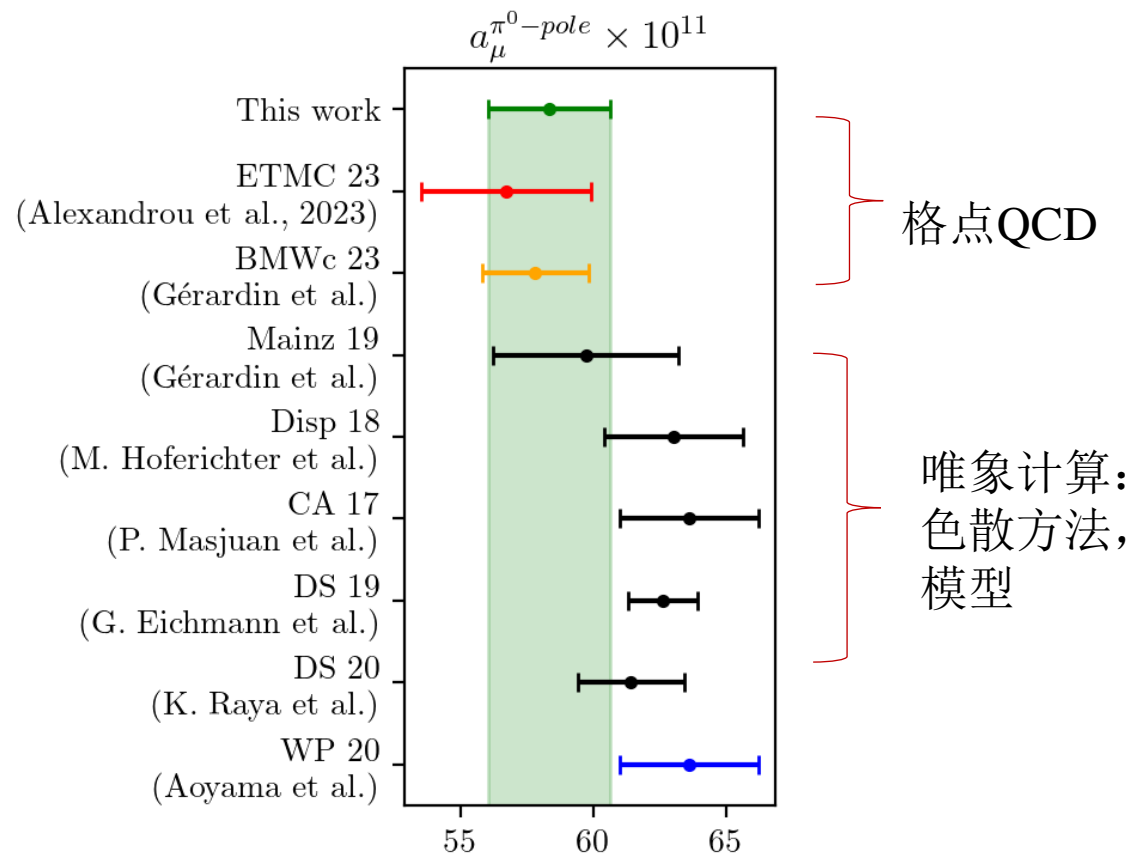
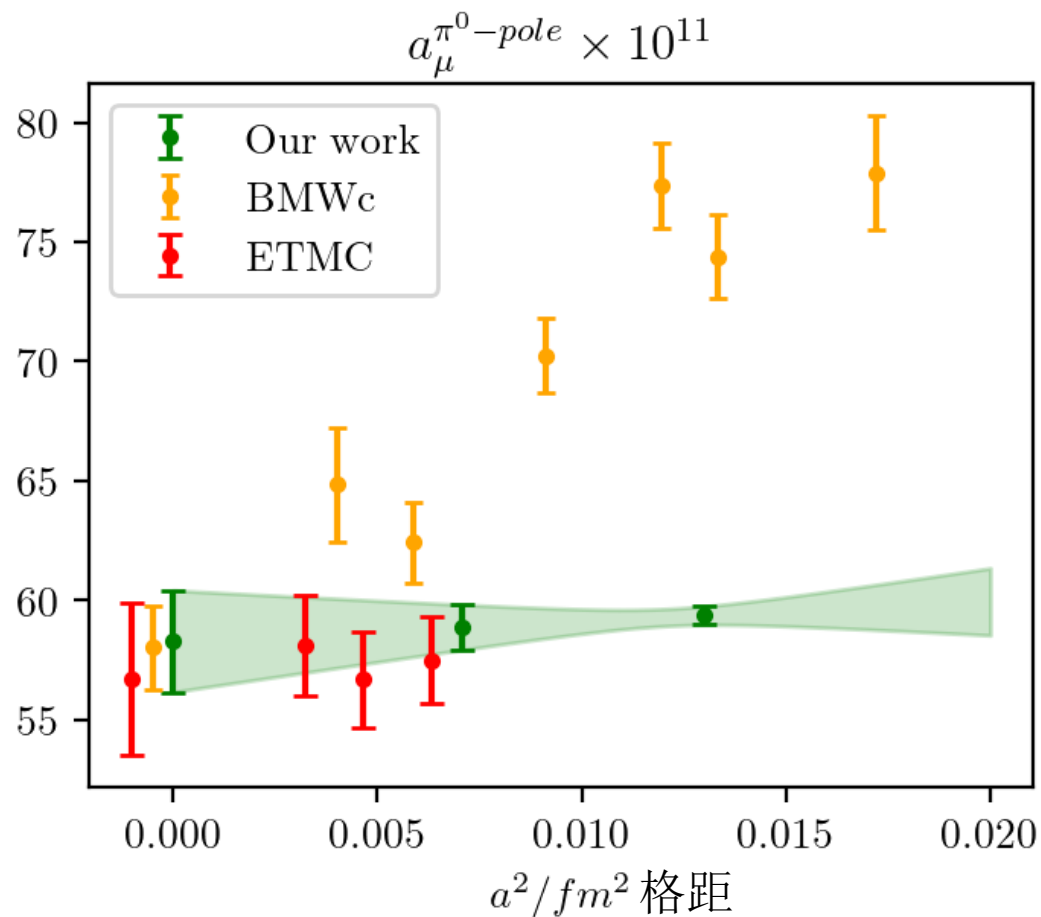
不同模型在  
连续极限外推后一致

比较24D与32D:  
有限体积效应可控

最终结果:  $a_{\mu}^{\pi^0-pole} = 58.3(2.1)_{stat}(0.9)_{sys} \times 10^{-11}$

统计误差  
主导 > 系统误差

# 总结



- 提出一种计算 $\pi^0$ -极点对HLbL贡献的全新方案
- 格点QCD在缪子反常磁矩中发挥越来越重要的作用